

А. Р. Махмутов (к.х.н., доц.), С. М. Усманов (д.ф.-м.н., проф.)

**ФОТОПОЛИМЕРИЗАЦИЯ АНИЛИНА**

Бирский филиал Башкирского государственного университета,  
лаборатория экологического мониторинга физико-химических загрязнений окружающей среды  
452453, г. Бирск, ул. Интернациональная, 10, тел. (34784)40455, e-mail: ainurmax@mail.ru

A. R. Makhmutov, S. M. Usmanov

**PHOTOPOLYMERIZATION OF THE ANILINE**

Birsk branch of Bashkir state university

10, Internatsyonalnaya St., 452453, Birsk, Russia, tel. (34784)40455, e-mail: ainurmax@mail.ru

Рассмотрен фотокатализический способ синтеза полианилина из анилина под действием системы  $\text{Fe}^{3+}/\text{M}^{2+}-\text{H}_2\text{O}-\text{ROH}$  ( $\text{M}^{2+} = \text{Cu}^{2+}, \text{Ni}^{2+}$ ; R = Me, Et, i-Pr, Bn). Фотополимеризация анилина проходит в мягких аэробных условиях при комнатной температуре и атмосферном давлении при облучении Hg-лампой в течение 20 мин. Максимальная конверсия анилина (>99%) наблюдается для фотокатализической системы  $\text{FeCl}_3/\text{Cu}(\text{NO}_3)_2-\text{H}_2\text{O}-\text{EtOH}$ .

**Ключевые слова:** полианилин; трихлорид железа; фотополимеризация; фотокатализатор.

Вопросы разработки эффективных и доступных методов синтеза полианилина (ПАНИ) становятся чрезвычайно актуальными благодаря интенсивному развитию технологических решений, связанных с расширением области применения ПАНИ и интерполимерных комплексов на его основе<sup>1</sup>.

Классические методы получения ПАНИ основаны на прямом химическом и электрохимическом окислении анилина<sup>2</sup>. Химический метод синтеза ПАНИ протекает при низких температурах (от -5 до +5 °C) с применением эквимолярных по отношению к анилину количеств окислителей (персульфата аммония, хлората натрия и калия, пероксида водорода, бихромата калия и др.), загрязняющих получаемый в ходе реакции полимер. В этом отношении электрохимический синтез на различных инертных электродных материалах (Pt, Cu, Cr/Au, C<sub>графит</sub> и др.) является «чистым» методом получения ПАНИ.

В нашей лаборатории разрабатывается совершенно новый, фотокатализический подход

A photocatalytic method for the synthesis of polyaniline from aniline under the action of the system  $\text{Fe}^{3+}/\text{M}^{2+}-\text{H}_2\text{O}-\text{ROH}$  ( $\text{M}^{2+} = \text{Cu}^{2+}, \text{Ni}^{2+}$ ; R = Me, Et, i-Pr, Bn) is considered. Aniline photopolymerization proceeds under mild, aerobic conditions at room temperature and atmospheric pressure under Hg lamp irradiation for 20 min. The maximum aniline conversion (> 99%) is observed for the  $\text{FeCl}_3/\text{Cu}(\text{NO}_3)_2-\text{H}_2\text{O}-\text{EtOH}$  photocatalytic system.

**Key words:** iron trichloride; photocatalyst; photopolymerization; polyaniline.

к синтезу ПАНИ, объединяющий достоинства химического (быстрый синтез) и электрохимического (чистый синтез) методов<sup>3</sup>. Кроме того, фотокатализ позволяет осуществлять синтез ПАНИ в мягких, экологически безопасных условиях без применения коррозионно-активных сильных кислот.

В данной работе рассмотрены экспериментальные данные фотокатализической полимеризации анилина до ПАНИ в водно-спиртовой среде под действием каталитических количеств солей железа в присутствии промотирующих добавок — солей никеля и меди. В качестве спиртов апробированы: метанол (MeOH), этанол (EtOH), изопропанол (i-PrOH) и бензиловый спирт (BnOH). Условное обозначение фотокатализической системы  $\text{Fe}^{3+}/\text{M}^{2+}-\text{H}_2\text{O}-\text{ROH}$  ( $\text{M}^{2+} = \text{Cu}^{2+}, \text{Ni}^{2+}$ ; R = Me, Et, i-Pr, Bn).

**Материалы и методы исследования**

Исходные реагенты: анилин (марки «ЧДА», АО «Реахим»), метанол (MeOH, марки «ХЧ», ЗАО «Вектон»), этанол (EtOH, мар-

Дата поступления 09.01.19

ки «ХЧ», АО «ЭКОС-1»), изопропанол (*i*-PrOH, марки «ХЧ», АО «ЭКОС-1»), бензиловый спирт (BnOH, марки «ЧДА», АО «Реахим») перед экспериментами предварительно перегоняли согласно методикам<sup>4</sup>.

Кристаллогидраты:  $\text{FeCl}_3 \cdot 6\text{H}_2\text{O}$  (марки «Ч», ОАО «Бром»),  $\text{Fe}(\text{NO}_3)_3 \cdot 9\text{H}_2\text{O}$ ,  $\text{FeSO}_4 \cdot 7\text{H}_2\text{O}$ ,  $\text{Ni}(\text{NO}_3)_2 \cdot 6\text{H}_2\text{O}$  и  $\text{NiCl}_2 \cdot 6\text{H}_2\text{O}$  (марки «Ч», АО «ЛенРеактив»),  $\text{Cu}(\text{NO}_3)_2 \cdot 3\text{H}_2\text{O}$  и  $\text{CuSO}_4 \cdot 5\text{H}_2\text{O}$  (марки «ЧДА», АО «ЛенРеактив») не подвергали дополнительной очистке.

**Общая методика фотокаталитического синтеза ПАНИ.** Фотокаталитический синтез ПАНИ проводили в фотокаталитической установке Photo Catalytic Reactor Lelesil Innovative Systems с кварцевым реактором объемом 250 мл (фотореактор типа Штромейера с магнитной мешалкой). В колбу реактора вносили 6.0 ммоль соли железа, 0.06–0.6 ммоль промотора, 1.0 моль спирта, 0.3 моль анилина и 2.0 моль воды. Загруженный реактор подсоединяли к установке (согласно инструкции производителя), снабжали обратным холодильником и барботером для пропускания атмосферного воздуха через реакционную среду. Источником излучения служила Нg-лампа среднего давления мощностью 250 Вт. Спектральный состав излучения по энергии: 48% – УФ-области, 43% – видимой области и 9% – ИК-области. Спектральная область: 222–1368 нм. Световой поток достигал реакционной системы, проходя через водный слой, терmostатируемый при температуре 25 °C. Время облучения – 20 мин. После завершения реакции осадок ПАНИ отделяли от раствора, гравиметрическим методом определяли выход и изучали его свойства.

## Обсуждение результатов

Компанией «Council of Scientific and Industrial Research» разработана методика синтеза ПАНИ из анилина с помощью трихлорида железа в водной среде<sup>5</sup>. Мольное соотношение реагентов близко к стехиометрическому и составляет  $[\text{FeCl}_3] : [\text{Анилин}] = 1 : 2$ , следовательно, трихлорид железа выполняет роль химического окислителя. Реакция полимеризации анилина протекает в течение 24 ч при температуре 30 °C с выходом до 87.5% ПАНИ с удельной электропроводностью, равной  $1.48 \cdot 10^{-4}$  См/см.

Методом атомно-абсорбционной спектрометрии нами обнаружено повышенное содержание соединений железа (до 1.0% мас.) в ПАНИ полученном по способу<sup>5</sup>. Влияние дополнительных процедур очистки ПАНИ на

содержание остаточного количества соединений железа нами не изучалось. Таким образом, согласно известной методике<sup>5</sup>, реагентное количество  $\text{FeCl}_3$  в процессе получения ПАНИ не позволяет получить чистый продукт без примесей.

В ходе работ по фотокаталитическому и фотоактивированному синтезу азотгетероциклических соединений, а также в процессе фотокаталитической конверсии  $\text{CCl}_4$  нами обнаружено наличие ПАНИ в качестве побочного продукта<sup>6–9</sup>. На основании поиска оптимальной фотокаталитической системы для целенаправленного синтеза ПАНИ разработана система  $\text{Fe}^{3+}/\text{M}^{2+}\text{-H}_2\text{O-ROH}$  ( $\text{M}^{2+} = \text{Cu}^{2+}, \text{Ni}^{2+}$ ; R = Me, Et, *i*-Pr, Bn). Мольное отношение катализатора к реагенту составляет  $[\text{Fe}^{3+}] : [\text{Анилин}] = 1 : 50$ , максимальное содержание промотора ( $\text{M}^{2+}$ ) по отношению к фотокатализатору ( $\text{Fe}^{3+}$ ) не превышает 2.0% мольн. Реакция полимеризации протекает в водно-спиртовой среде при комнатной температуре в течение 20 мин.

Исследовано влияние природы фотокатализатора и промотора фотокаталитической системы  $\text{Fe}^{3+}/\text{M}^{2+}\text{-H}_2\text{O-ROH}$ , а также источника излучения на выход ПАНИ в водно-этанольной среде. Результаты представлены в табл. 1.

Максимальный выход ПАНИ (>99%) наблюдается для системы  $\text{FeCl}_3/\text{Cu}(\text{NO}_3)_2\text{-H}_2\text{O-EtOH}$  при облучении реакционной массы излучением Нg-лампы в течение 20 мин (опыт №8, табл. 1). Облучение Хe-лампой в тех же условиях малоэффективно (опыт №9, табл. 1), однако, при длительном (в течение 24 ч) облучении выход ПАНИ значительно возрастает (опыт №10, табл. 1). Обнаружен благоприятный эффект облучения системы солнечным светом (опыт №11, табл. 1). Синтез ПАНИ без облучения не наблюдается (опыт №12, табл. 1).

Наблюдается влияние промоторов:  $\text{Ni}(\text{NO}_3)_2$ ,  $\text{NiCl}_2$ ,  $\text{Cu}(\text{NO}_3)_2$  и  $\text{CuSO}_4$  на выход ПАНИ. Максимальной промотирующей активностью из протестированного ряда обладает нитрат меди  $\text{Cu}(\text{NO}_3)_2$  в количестве 2% мольн. (опыты №8 и №13, табл. 1). Дальнейшее повышение количества промотора не влияет на выход ПАНИ (опыты №3–5, табл. 1), т.е. наблюдается выход на плато.

Фотокатализатор на основе  $\text{Fe}^{2+}$  (опыт №14, табл. 1) малоактивен. Однако в результате частичного окисления  $\text{Fe}^{2+}$  до  $\text{Fe}^{3+}$  кислородом воздуха в присутствии  $\text{Cu}(\text{NO}_3)_2$  возможна реакция полимеризации анилина. На основании этих данных предложен вероятный механизм полимеризации анилина в ПАНИ под действием фотокаталитической системы  $\text{FeCl}_3/\text{Cu}(\text{NO}_3)_2\text{-H}_2\text{O-EtOH}$  (табл. 2).

Таблица 1

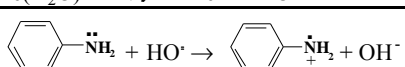
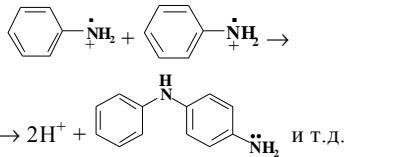
**Влияние источника излучения, природы фотокатализатора и промотора на выход ПАНИ под действием системы  $\text{Fe}^{3+}/\text{M}^{2+}\text{-H}_2\text{O-EtOH}$**

№ опыта	Фотокатализатор $\text{Fe}^{3+}$	Промотор $\text{M}^{2+}$ , % mol.	Источник излучения*	Выход ПАНИ, %
1	$\text{FeCl}_3$	-	$Hg$	35
2	-/-	$\text{CuSO}_4$ ; 1	$Hg$	73
3	-/-	$\text{CuSO}_4$ ; 2	$Hg$	88
4	-/-	$\text{CuSO}_4$ ; 5	$Hg$	88
5	-/-	$\text{CuSO}_4$ ; 9	$Hg$	88
6	-/-	$\text{Ni}(\text{NO}_3)_2$ ; 2	$Hg$	41
7	-/-	$\text{NiCl}_2$ ; 2	$Hg$	39
8	-/-	$\text{Cu}(\text{NO}_3)_2$ ; 2	$Hg$	>99
9	-/-	$\text{Cu}(\text{NO}_3)_2$ ; 2	$Xe$	3
10	-/-	$\text{Cu}(\text{NO}_3)_2$ ; 2	$Xe$	54 **
11	-/-	$\text{Cu}(\text{NO}_3)_2$ ; 2	<i>Solar</i>	62 **
12	-/-	$\text{Cu}(\text{NO}_3)_2$ ; 2	-	-
13	$\text{Fe}(\text{NO}_3)_3$	$\text{Cu}(\text{NO}_3)_2$ ; 2	$Hg$	97
14	$\text{FeSO}_4$	$\text{Cu}(\text{NO}_3)_2$ ; 2	$Hg$	12

\*  $Hg$  – ртутная лампа,  $\lambda < 400$  нм;  $Xe$  – ксеноновая лампа,  $\lambda \geq 400$  нм, *Solar* – солнечное излучение;  
\*\* – время облучения 24 ч

Таблица 2

**Вероятный механизм фотокаталитического синтеза ПАНИ**

№ стадии	Схема
(1a)	$\text{FeCl}_3\cdot 2\text{EtOH} + h\nu \rightarrow [\text{FeCl}_3\cdot 2\text{EtOH}]^*$
(1b) $K_1$	$[\text{FeCl}_3\cdot 2\text{EtOH}]^* \rightarrow \text{FeCl}_2\text{EtOH} + \text{EtO}^\cdot + \text{HCl}$
(2) $K_2$	$\text{Fe}(\text{H}_2\text{O})^{3+} + h\nu \rightarrow \text{Fe}^{2+} + \text{HO}^\cdot + \text{H}^+$
(3)	
(4)	
(5)	$2\text{Fe}^{2+} + 0.5\text{O}_2 + 2\text{H}^+ + \text{H}_2\text{O} \rightarrow 2\text{Fe}(\text{H}_2\text{O})^{3+}$

Фотокатализатор в системе  $\text{FeCl}_3/\text{Cu}(\text{NO}_3)_2\text{-H}_2\text{O-EtOH}$  существует в двух формах: аквакомплекс  $\text{Fe}(\text{H}_2\text{O})^{3+}$  и сольватный комплекс  $\text{FeCl}_3\cdot 2\text{EtOH}$ . Поглощая квант акти-

### Литература

- Кантимиров Р.А., Махмутов А.Р. Фотокаталитический синтез полианилина // Молодежный научный вестник.– 2018.– Т.29, №4.– С.258-260.
- Palaniappan S., John A. Polyaniline materials by emulsion polymerization pathway // Prog. Polym. Sci.– 2008.– V.33, №7.– Pp.732-758. DOI: 10.1016/j.progpolymsci.2008.02.002.
- Makhmutov A.R., Mustafin A.G., Usmanov S.M. Photocatalytic oxidative polymerization of aniline under the action of the system  $\text{Fe}^{3+}/\text{M}^{2+}$ -

ничного света, комплексы генерируют радикальные частицы (стадии 1 и 2). В водно-спиртовой среде  $K_2 >> K_1$ , т.е. стадия 2 более вероятна <sup>10, 11</sup>. Взаимодействие анилина и гидроксильного радикала приводит к возникновению катион-радикала мономера (стадия 3) с последующей их быстрой рекомбинацией «голова к хвосту» с образованием димеров и выделением протонов (схема 1, стадия 4) в реакционную среду. Рост цепи ПАНИ осуществляется последовательностью актов одноэлектронного переноса с образованием катион-радикалов и их рекомбинации <sup>12</sup>.

Процесс окисления  $\text{Fe}^{2+}$  до  $\text{Fe}(\text{H}_2\text{O})^{3+}$  посредством кислорода воздуха является медленным актом, но присутствие промотора  $\text{Cu}(\text{NO}_3)_2$  позволяет ускорить процесс аэробного окисления  $\text{Fe}^{2+}$  и, следовательно, быстрой регенерации фотокаталитически активной формы  $\text{Fe}(\text{H}_2\text{O})^{3+}$ .

Спиртовой компонент системы  $\text{FeCl}_3/\text{Cu}(\text{NO}_3)_2\text{-H}_2\text{O-ROH}$  влияет на выход ПАНИ в процессе фотополимеризации анилина. В качестве спиртов, кроме EtOH, протестираны MeOH, *i*-PrOH и BnOH. Выход ПАНИ снижается в следующем ряду  $\text{EtOH} \approx \text{MeOH} > \text{BnOH} > i\text{-PrOH}$ .

Таким образом, в работе представлены экспериментальные данные фотокаталитической полимеризации анилина до ПАНИ в водно-спиртовой среде под действием катализических количеств солей железа в присутствии промотирующих добавок – солей никеля и меди. Выявлено влияние различных факторов (природы фотокатализатора, количества промотора, источника излучения, времени процесса фотополимеризации и природы спиртовой среды) на выход ПАНИ. Максимальный выход ПАНИ (>99%) наблюдается для системы  $\text{FeCl}_3/\text{Cu}(\text{NO}_3)_2\text{-H}_2\text{O-EtOH}$  при облучении реакционной массы излучением  $Hg$ -лампы в течение 20 мин. Описан вероятный механизм синтеза ПАНИ из анилина под действием фотокаталитической системы  $\text{FeCl}_3/\text{Cu}(\text{NO}_3)_2\text{-H}_2\text{O-EtOH}$ .

### References

- Kantimirov R.A., Makhmutov A.R. *Fotokataliticheskii sintez polianilina* [Photocatalytic synthesis of polyaniline]. *Molodezhnyi nauchnyi vestnik* [Youth Scientific Herald], 2018, vol.29, no.4, pp.258-260.
- Palaniappan S., John A. [Polyaniline materials by emulsion polymerization pathway]. *Prog. Polym. Sci.*, 2008, vol.33, no.7. pp.732-758. DOI: 10.1016/j.progpolymsci.2008.02.002.

- $\text{H}_2\text{O}-\text{ROH}$  ( $\text{M}^{2+} = \text{Cu}^{2+}, \text{Ni}^{2+}$ ;  $\text{R} = \text{Me, Et, } i\text{-Pr, Bn}$ ) // Materials of the International Conference «Scientific research of the SCO countries: synergy and integration». Minzu University of China. December 12, 2018. Beijing, PRC.— Reports in English. Part 2.— Pp.157-162.
4. Вайсбергер А., Проскауэр Э., Риддик Дж., Тупс Э. Органические растворители.— М.: Ин-лит-ра, 1958.— 518 с.
  5. Патент 2323228 РФ Способ получения проводящего полианилина / Субраманиам Р., Дешпанда Ш. Д. // Б.И.— 2008.— №12.
  6. Makhmutov A.R., Mustafin A.G., Usmanov S.M.  $\text{Fe}(\text{CrO}_2)_2$ -catalyzed, photoactivated oxidative one-pot tandem synthesis of substituted quinolines from primary alcohols and arylamines // Chem. Heterocycl. Compd.— 2018.— V.54, №3.— Pp.369-374. DOI: 10.1007/s10593-018-2275-1.
  7. Махмутов А.Р., Усманов С.М. Фотокатализическая система  $\text{Fe}(\text{CrO}_2)_2-\text{TiO}_2$  в синтезе алкилхинолинов // Баш. хим. ж.— 2018.— Т.25, №2.— С.70-75. DOI: 10.17122/bcj-2018-2-70-75.
  8. Махмутов А.Р. Однореакторный окислительный синтез замещенных хинолинов из спиртов и ариламинов под действием гетерогенного катализатора  $\text{Fe}(\text{CrO}_2)_2$  в водной среде // ЖОрХ.— 2018.— Т.54, №8.— С.1156-1161. DOI: 10.1134/S1070428018080080.
  9. Махмутов А.Р. Фотокатализическая конверсия системы  $\text{FeCl}_3-\text{CCl}_4-\text{ROH}$  // Кинетика и катализ.— 2017.— Т.58, №6.— С.712-717. DOI: 10/7868/S0453881117060077.
  10. Махмутов А.Р., Усманов С.М. Аэробное фотокатализическое окисление спиртов в системе  $\text{FeCl}_3-\text{ROH}-\text{H}_2\text{O}-\text{NaNO}_2/\text{O}_{2(\text{возд.)}}$  // Баш. хим. ж.— 2017.— Т.24, №4.— С.33-37.
  11. Махмутов А.Р. Фотокатализический синтез 1,3-диоксациклических соединений из диолов и первичных спиртов под действием системы  $\text{FeCl}_3-\text{NaNO}_2/\text{O}_{2(\text{воздуха})}$  // ЖОрХ.— 2018.— Т.54, №11.— С.1695-1698.
  12. Шишкова А.Н., Мустафин А.Г., Абдрахманов И.Б., Герчиков А.Я. Анализ механизма и кинетики окислительной полимеризации анилина / Вестник Башкирского университета.— 2017.— Т.22, №1.— С.59-64.
  3. Makhmutov A.R., Mustafin A.G., Usmanov S.M. [Photocatalytic oxidative polymerization of aniline under the action of the system  $\text{Fe}^{3+}/\text{M}^{2+}-\text{H}_2\text{O}-\text{ROH}$  ( $\text{M}^{2+} = \text{Cu}^{2+}, \text{Ni}^{2+}$ ;  $\text{R} = \text{Me, Et, } i\text{-Pr, Bn}$ )]. [Materials of the International Conference «Scientific research of the SCO countries: synergy and integration». Minzu University of China], December 12, 2018. Beijing, PRC. Part 2, pp.157-162.
  4. Weisberger A., Proskauer E., Riddick J., Toops E. *Organicheskie rastvoriteli* [Organic solvents]. Moscow, Inostrannaya literature Publ., 1958, 518 p.
  5. Subramania R., Deshpande S.D. *Sposob polucheniya provodjashchego polianilina* [The method of obtaining conductive polyaniline]. Patent 2323228 RF, 2008.
  6. Makhmutov A.R., Mustafin A.G., Usmanov S.M. [ $\text{Fe}(\text{CrO}_2)_2$ -catalyzed, photoactivated oxidative one-pot tandem synthesis of substituted quinolines from primary alcohols and arylamines]. *Chem. Heterocycl. Compd.*, 2018, vol.54, no.3, pp.369-374. DOI: 10.1007/s10593-018-2275-1.
  7. Makhmutov A.R., Usmanov S.M. *Fotokataliticheskaya sistema Fe(CrO2)2-TiO2 v sinteze alkilkhinolinov* [Synthesis of alkylquinolines under the action of photocatalytic system  $\text{Fe}(\text{CrO}_2)_2-\text{TiO}_2$ ]. *Baskirskii khimicheskii zhurnal* [Bashkir Chemical Journal], 2018, vol.25, no.2, pp.70-75. DOI: 10.17122/bcj-2018-2-70-75.
  8. Makhmutov A.R. [One-Pot oxidative synthesis of substituted quinolines from alcohols and arylamines catalyzed by  $\text{Fe}(\text{CrO}_2)_2$  in water medium]. *Russian Journal of Organic Chemistry*, 2018, vol.54, no.8, pp.1166-1172. DOI: 10.1134/S1070428018080080.
  9. Makhmutov A.R. *Fotokataliticheskaya konversiya sistemy FeCl3-CCl4-ROH* [Photocatalytic Conversion of a  $\text{FeCl}_3-\text{CCl}_4-\text{ROH}$  System]. *Kinetika i kataliz* [Kinetics and Catalysis], 2017, vol.58, no.6, pp.695-700. DOI: 10/7868/S0453881117060077.
  10. Makhmutov A.R., Usmanov S.M. Aerobnoye fotokataliticheskoye okisleniye spirtov v sisteme  $\text{FeCl}_3-\text{ROH}-\text{H}_2\text{O}-\text{NaNO}_2/\text{O}_{2(\text{vozd.)}}$  [Aerobic photocatalytic oxidation of alcohols in the system  $\text{FeCl}_3-\text{ROH}-\text{H}_2\text{O}-\text{NaNO}_2/\text{O}_{2(\text{air})}$ ]. *Baskirskii khimicheskii zhurnal* [Bashkir Chemical Journal], 2017, vol.24, no.4, pp.33-37.
  11. Makhmutov A.R. [Photocatalytic synthesis of 1,3-dioxacyclanes from diols and primary alcohols effected by a system  $\text{FeCl}_3-\text{NaNO}_2/\text{O}_{2(\text{Air})}$ ]. *Russian Journal of Organic Chemistry*, 2018, vol. 54, no.11.
  12. Shishkina A.N., Mustafin A.G., Abdrakhmanov I.B., Gerchikov A.Ya. *Analiz mehanizma i kinetiki okislitel'noy polimerizatsii anilina* [Analysis of the mechanism and kinetics of oxidative polymerization of aniline]. *Vestnik Bashkirskogo universiteta* [Bulletin of the Bashkir University], 2017, vol.22, no.1, pp.59-64.